

توسعه یک مدل ترکیبی به منظور ارزیابی حرارتی مبدل‌های پوسته و لوله

وحید نصیرپور، نورالله کشیری*

تهران، دانشگاه علم و صنعت ایران، دانشکده مهندسی شیمی، آزمایشگاه تحقیقاتی مهندسی فرایند به کمک کامپیوتر

چکیده: توزیع دما در مبدل‌های حرارتی پوسته و لوله، یکی از مهم‌ترین اطلاعات لازم برای بررسی عملکرد این تجهیزات است. برای مدل‌سازی مبدل‌های حرارتی پوسته و لوله، تاکنون مدل‌های بسیاری ارایه شده که بیشتر آنها یا به علت پیچیدگی زیاد و یا به دلیل استفاده بیش از حد از رابطه‌های همیسته، در عمل کمتر مورد استفاده قرار گرفته و یا از دقت کافی برخوردار نیستند. در این پژوهش، ابتدا مدل‌سازی یک مبدل حرارتی پوسته و لوله بدون در نظر گرفتن بفل‌ها و با فرض جریان قالبی برای سیال سمت پوسته و سپس مدل‌سازی مبدلی دارای جریان متقطع خالص و بدون در نظر گرفتن جریان‌های نشتی ارایه شده است که با حل این دو مدل محدوده عملکرد حرارتی مبدل پوسته و لوله مشخص خواهد شد. در ادامه مدل ترکیبی جدیدی برای پیش‌بینی انتقال حرارت واقعی و محاسبه‌های توزیع دما در مبدل حرارتی با ترکیب مدل‌های بر پایه جریان قالبی و جریان متقطع سیال سمت پوسته ارایه شده که سهم هر یک از دو مدل اولیه در مدل ترکیبی جدید به وسیله‌ی نتیجه‌های حاصل از آنالیز جریان سیال سمت پوسته قابل محاسبه است. برای بررسی صحت مدل‌سازی مقایسه‌ای میان نتیجه‌های حاصل از شبیه‌سازی و نتیجه‌های آزمایشگاهی دانشگاه دلاوار برای دو مبدل دارای پوسته نوع E صورت گرفته که مدل ترکیبی ارایه شده از دقت مناسبی در محاسبه دمای سیالات خروجی از مبدل حرارتی دارا بوده است.

واژه‌های کلیدی: مبدل‌های حرارتی پوسته و لوله، مدل‌سازی، جریان متقطع، مدل ترکیبی، ضریب انتقال حرارت.

KEY WORDS: Shell and tube heat exchangers, Modeling, Cross flow, Combined model, Heat transfer coefficient.

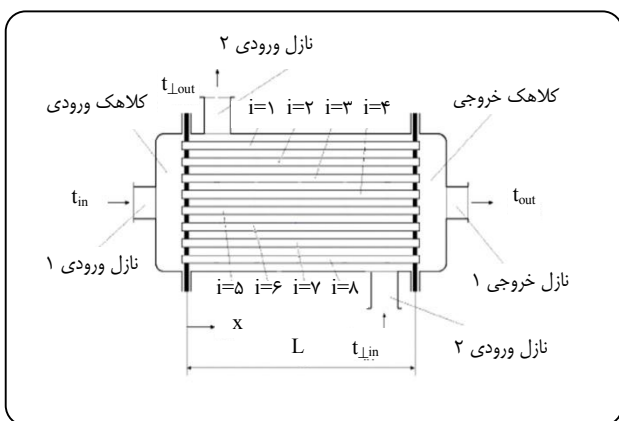
مقدمه

آلدگی محیط زیست، نقش مبدل‌های حرارتی را پر رنگ تر می‌کند. مبدل‌های حرارتی به صورت‌های متفاوت مانند کدانسورها، جوش‌اورها، تبخیر کننده‌ها، کوردها، گرمکن‌ها، سردکن‌ها و غیره موجود است. در این میان، نقش مبدل‌های پوسته و لوله بسیار چشم‌گیر می‌باشد به طوری که این مبدل‌ها حدود نیمی از کل بازار مبدل‌های حرارتی را شامل می‌شوند. مدل‌سازی مبدل‌های حرارتی پوسته و لوله با پیچیدگی‌ها و دشواری‌های ویژه‌ای همراه است که هریک بهنحوی در توسعه

مبدل حرارتی، وسیله‌ای است که انرژی حرارتی را از سیالی به یک یا چند سیال دیگر که دارای دمای متفاوتی هستند، منتقل می‌کند. کاربرد مبدل‌های حرارتی بسیار وسیع است و در صنایع متفاوت از جمله نیروگاه‌های تولید برق، پالایشگاه‌ها، صنایع غذایی، داروسازی، صنایع پتروشیمی، سرخانه‌ها و سیستم‌های گرمایش و سرمایش ساختمان‌ها و به طور کلی هرجا که مسأله تبادل انرژی مطرح باشد، مورد استفاده قرار می‌گیرند. همچنین لزوم صرفه‌جویی در مصرف انرژی و جلوگیری از اتلاف آن و توجه به مسائل

*E-mail: capepub@cape.iust.ac.ir

**عهده دار مکاتبات



شکل ۱- مدل حرارتی پوسته و لوله [۱۲].

از میان روش‌های ذکر شده فقط روش‌های بر پایه دینامیک سیالات محاسباتی و دو روش بیان شده در مراجع [۱۳] و [۱۴] قابلیت محاسبه توزیع دمای سیالات سمت پوسته و لوله را دارا هستند و مابقی فقط توانایی محاسبه دما یا فشار خروجی از مبدل را دارند و هیچ‌گونه اطلاعاتی از نحوه تغییرهای دما یا فشار در طول مبدل حرارتی را در دسترس قرار نمی‌دهند.

معادله‌ها و رابطه‌های حاکم

مدل‌سازی حرارتی مبدل پوسته و لوله با فرض جریان قالبی برای سیال سمت پوسته

مدل‌سازی مبدل با فرض جریان قالبی سمت پوسته، نخستین بار توسط رازل و راتانونگ [۱۴] صورت گرفته است. فرضیه‌های حاکم در این مدل‌سازی عبارت‌اند از:

- ۱- سرعت جریان سیال در هر ردیف لوله مقداری ثابت است ولی می‌تواند از ردیف لوله‌ای به ردیف لوله دیگر متفاوت باشد.
- ۲- جریان سیال سمت پوسته قالبی در نظر گرفته می‌شود.
- ۳- ضریب کلی انتقال حرارت به صورت ثابت و یکنواخت در نظر گرفته می‌شود.

با در نظر گرفتن جریان قالبی در نزدیکی هر یک از لوله‌های مبدل حرارتی، معادله سمت لوله‌ها به صورت زیر خواهد بود:

$$\left(\frac{w_i}{\bar{w}} \right) \frac{dT_i}{dx} + NTU(T_i - u) = 0 \quad (1)$$

معادله‌ی انرژی سیال سمت پوسته به صورت زیر خواهد بود:

$$\frac{du}{dx} + NTU_{\perp} \left(\frac{1}{n} \sum_{i=1}^n T_i - u \right) = 0 \quad (2)$$

مدل یا حل آن اثرگذار خواهد بود. نامشخص بودن مسیر جریان سیال سمت پوسته به‌واسطه پیچیدگی‌های هندسی و وجود جریان‌های نشتی و جانبی، گستردنی در انواع مبدل‌های پوسته و لوله و تفاوت در ساختار هندسی آنها، امکان دوفازی شدن سیالات سمت پوسته و لوله و پیچیدگی رابطه‌های حاکم در مقایسه با حالت تک‌فاز و همچنین وجود پدیده رسوب گرفتگی و تأثیر آن بر انتقال حرارت و افت فشار درون مبدل حرارتی از مهم‌ترین مشکلات و پیچیدگی‌های موجود بر سر راه مدل‌سازی این تجهیزات هستند.

تاکنون روش‌های متفاوتی برای پیش‌بینی انتقال حرارت و افت فشار تهیه و منتشر شده که هر یک دارای محسن، معایب، محدودیت‌ها و دقت‌های متفاوتی هستند. تمامی این روش‌ها را می‌توان به صورت زیر طبقه‌بندی کرد:

۱- روش‌های اولیه که براساس عبور جریان از دسته لوله به صورت ایده‌آل و یا فرض سیستم تک لوله‌ای به دست آمده‌اند که می‌توان به روش زوکاسکاس [۱] اشاره کرد.

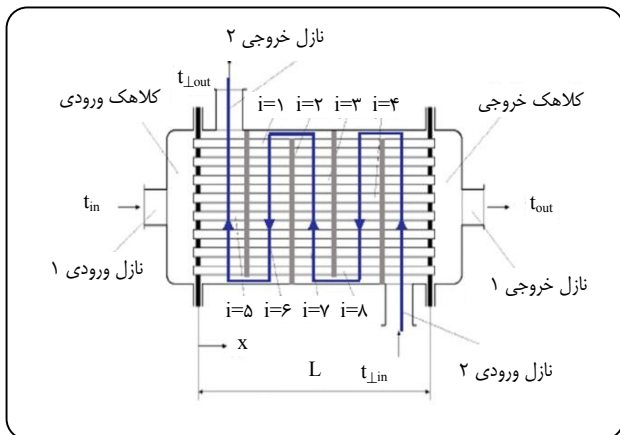
۲- روش‌های انتگرالی که در آنها جریان عرضی ایجاد شده به وسیله بغل با وجود یک پنجره توجیه می‌شود که در این روش‌ها تأثیر جریان‌های نشتی و جانبی در نظر گرفته نشده است. از میان این روش‌ها می‌توان به روش دناهیو [۲] و روش کرن [۳] اشاره کرد که دارای بیش از ۵۰ درصد خطای است.

۳- روش‌هایی که براساس مدل تینکر [۴] و آنالیز جریان ارایه شده‌اند که معروف‌ترین آن‌ها روش‌های پالن و تیورک [۵] با $\pm 30^\circ$ درصد خطای روش ویلس و جانستون [۶] با ۱۵ درصد خطای روش دل‌کول [۷] با $\pm 20^\circ$ درصد خطای هستند.

۴- روش‌هایی که از مدل تینکر [۴] به عنوان پایه کلی و بدون حدس‌زدن مجدد استفاده می‌کنند، مثل روش بل [۸]، روش گدیس و جنی‌لینسکی [۹] با $\pm 35^\circ$ درصد خطای روش کاپال و چاند [۱۰] با ۲ تا ۴ درصد خطای.

۵- روش‌های پیش‌گویی عددی بر پایه دینامیک سیالات محاسباتی که روش‌هایی بسیار پیچیده ولی بسیار دقیق هستند مثل روش زیرنگهوا و همکاران [۱۱] و روش ژینگهوا [۱۲] که دارای ۵ تا ۱۰ درصد خطای هستند.

۶- افزون بر روش‌های ذکر شده، روش‌های دیگری نیز برای شبیه‌سازی مبدل‌های حرارتی موجود است و در دسته‌بندی‌های ذکر شده نمی‌گنجد که برخی از آن‌ها عبارت‌اند از: روش بس و رازل [۱۳]، روش رازل و راتانونگ [۱۴] و روش بیوب [۱۵].



شکل ۲- مدل حرارتی پوسته و لوله با جریان مقاطع.

با در نظر گرفتن یک لوله از دسته لوله و اعمال موازنۀ انرژی برای جریان سیالات داخل و خارج لوله دستگاه معادله‌های دیفرانسیلی - تفاضلی زیر حاصل می‌شود:

$$\begin{cases} -\frac{dT_i}{dS} = B(T_i - v_{i-1/2}) \\ v_{i+1/2} - \mu v_{i-1/2} = (1-\mu)T_i \end{cases} \quad (6)$$

دستگاه معادله‌ی (۶) با در نظر گرفتن شرایط مرزی مناسب قابل حل می‌باشد. جزئیات این مدل‌سازی و همچنین معادله‌هایی برای محاسبه مقدارهای μ و B در مرجع [۱۳] ارایه شده است.

مبدل‌های حرارتی پوسته و لوله در حقیقت شامل مجتمعه‌ای از مبدل‌های جریان مقاطع هستند. بنابراین، با تعمیم مدل‌سازی صورت گرفته برای مبدل‌های پوسته و لوله می‌توان به مدل‌سازی این گونه مبدل‌ها در حالتی که جریان سمت پوسته ایده‌آل باشد، دست یافت. بدین منظور افرون بر فرضیه‌های ذکر شده برای مبدل‌های مقاطع، برای تعمیم مدل‌سازی ذکر شده به مبدل‌های حرارتی پوسته و لوله فرضیه‌های دیگری نیز در نظر گرفته شده که عبارت‌اند از:

- از اثر جریان‌های نشیتی سمت پوسته صرف نظر می‌شود.
- سیال سمت پوسته به طور کامل مخلوط شده در نظر گرفته می‌شود.

- ضریب کلی انتقال حرارت و همچنین کلیه ویژگی‌های فیزیکی ثابت فرض می‌شوند.

با در نظر گرفتن فرضیه‌های ذکر شده و با توجه به شکل ۲، دستگاه معادله‌ی (۶) برای مسیر مقاطع شماره ز به صورت معادله‌ی (۷) خواهد بود:

از معادله‌های (۱) و (۲)، $n+1$ معادله تولید می‌شود که با تعریف شرایط مرزی مناسب می‌توان این دستگاه معادله‌های دیفرانسیل را حل کرد. شرایط مرزی به صورت تعريف می‌شوند: برای مبدل‌های با جریان همسو و ناهمسو:

$$@ \zeta = 0 : T_i = 0 \quad i = 1, 2, \dots, n \quad (3)$$

برای مبدل با جریان ناهمسو:

$$@ \zeta = 1 : v = 1 \quad (4)$$

برای مبدل با جریان همسو:

$$@ \zeta = 0 : v = 1 \quad (5)$$

دستگاه $n+1$ معادله دیفرانسیلی که از معادله‌های (۱) و (۲) با شرایط مرزی (۳) و (۴) برای مبدل ناهمسو و (۳) و (۵) برای مبدل همسو حاصل می‌شود، به وسیله‌ی یک روش عددی مناسب قابل حل خواهد بود و توزیع دمای سیالات سمت پوسته و لوله محاسبه خواهد شد. همچنین ذکر این نکته ضروری است که اگر مبدل همسو باشد دستگاه معادله‌های حاصل از نوع مقدار اولیه و اگر ناهمسو باشد دستگاه حاصل از نوع مقدار مرزی خواهد بود.

مدل‌سازی حرارتی مبدل پوسته و لوله با فرض جریان مقاطع

برای سیال سمت پوسته

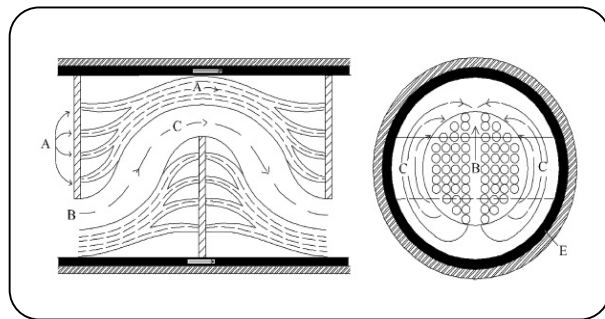
در این بخش ابتدا به بررسی مدل‌سازی یک جریان مقاطع شامل n لوله که توسط بس و رازل [۱۳] ارایه شده پرداخته و سپس از تعمیم این مدل به مبدل پوسته و لوله که توسط نصیریور و کشیری [۱۶] ارایه شده استفاده می‌شود. فرضیه‌های مورد استفاده در این مدل عبارت‌اند از:

- ۱- ضریب انتقال حرارت کلی برای هر ردیف لوله مقداری ثابت است.

- ۲- دمای سیال درون هر لوله به صورت پیوسته در جهت حرکت سیال متغیر است و به واسطه‌ی وجود اختلاط کافی در سیال سمت لوله، دمای اطراف لوله‌ها به صورت یکنواخت خواهد بود.

- ۳- دمای سیال عبوری از روی لوله‌ها در جهت عمود بر لوله‌ها متغیر است.

- ۴- توزیع جریان برای هر یک از ردیف لوله‌ها یکسان فرض می‌شود، به عبارت دیگر شدت جریان حرارتی برای کلیه ردیف لوله‌ها برابر خواهد بود.



شکل ۳- جریان‌های مؤثر سمت پوسته طبق مدل تینکر.

در انتقال حرارت واقعی انجام شده با یکدیگر متفاوت است و این به وسیله‌ی روش‌هایی که توانایی محاسبه‌های آنالیز جریان را دارند قابل محاسبه است. در این روش‌ها معادله‌های حاکم بر جریان‌های سیال سمت پوسته به وسیله‌ی حدس و خطأ حل شده و دی‌های هریک از جریان‌های مؤثر سمت پوسته محاسبه می‌شود. در این پژوهش، از روش ولیس و جانستون [۶] برای محاسبه‌های آنالیز جریان سیال سمت پوسته استفاده شده که در عین سادگی از دقت بالایی برخوردار است.

بنابراین، سهم هریک از جریان‌های نمایش‌داده شده در شکل ۳ پس از انجام محاسبه‌های آنالیز جریان به صورت زیر محاسبه خواهد شد:

$$E_t = \frac{\dot{M}_t}{\dot{M}_T} \quad (11)$$

$$E_c = \frac{\dot{M}_c}{\dot{M}_T} \quad (12)$$

$$E_b = \frac{\dot{M}_b}{\dot{M}_T} \quad (13)$$

$$E_s = \frac{\dot{M}_s}{\dot{M}_T} \quad (14)$$

از ترکیب رابطه‌های بالا سهم جریان‌های قالبی و متقطع به صورت زیر قابل محاسبه است:

$$E^{\text{Plug}} = E_t + E_s \quad (15)$$

$$E^{\text{Cross}} = E_c + E_b \quad (16)$$

بنابراین، انتقال حرارت واقعی انجام شده برای سیال سمت پوسته به صورت زیر پیشنهاد می‌شود:

$$Q^{\text{Actual}} = E^{\text{Plug}} Q^{\text{Plug}} + E^{\text{Cross}} Q^{\text{Cross}} \quad (17)$$

$$\left\{ \begin{array}{l} -\frac{dT_{i,j}}{dS} = B(T_{i,j} - v_{i-1/2,j}) \\ v_{i-1/2,j} - \mu v_{i+1/2,j} = (1-\mu)T_{i,j} \end{array} \right. \quad (7)$$

برای تبدیل معادله‌ی اول موجود در دستگاه معادله‌ی (7) به شکل گسسته، آنرا با استفاده از تقاضل پس رو بسط داده و پس از ساده‌سازی رابطه‌های حاصل، دستگاه معادله‌ی زیر حاصل می‌شود:

$$\left\{ \begin{array}{l} T_{i,j} = \left(\frac{1}{1+B\Delta S} \right) T_{i,j-1} + \left(\frac{B\Delta S}{1+B\Delta S} \right) v_{i-1/2,j} \\ v_{i+1/2,j} = (1-\mu)T_{i,j} + \mu v_{i-1/2,j} \end{array} \right. \quad (8)$$

که ΔS فاصله بدون بعد میان دو بغل مجاور هم است. اگر مبدل حرارتی مورد نظر همسو باشد، شرایط مرزی به صورت زیر خواهد بود:

$$\left\{ \begin{array}{l} @ \zeta = 0 \quad , T_{i,0} = 0 \\ @ \zeta = 1 \quad , v_{1/2,1} = 1 \end{array} \right. \quad (9)$$

و اگر مبدل حرارتی ناهمسو باشد، شرایط مرزی به صورت زیر تعریف می‌شود:

$$\left\{ \begin{array}{l} @ \zeta = 0 \quad , T_{i,0} = 0 \\ @ \zeta = 1 \quad , v_{n+1/2,m} = 1 \end{array} \right. \quad (10)$$

با در نظر گرفتن معادله‌ی (8) و شرایط مرزی (9) یا (10) توزیع دمای سیالات سمت پوسته و لوله قابل محاسبه خواهد بود. جزئیات این مدل‌سازی و همچنین رابطه‌های تکمیلی در مرجع [۱۶] ارایه شده است.

مدل‌سازی ترکیبی پیشنهادی برای پیش‌بینی توزیع دما

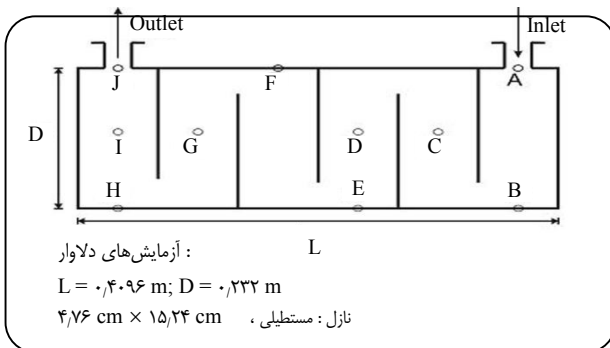
جریان سیال سمت پوسته در حقیقت ترکیبی از جریان محوری و جریان متقطع است. از این‌رو، انتقال حرارت واقعی صورت گرفته نیز ترکیبی از انتقال حرارت جریان محوری و جریان متقطع خواهد بود که مدل‌سازی هریک به‌طور مجزا در بخش‌های قبلی ارایه شده است. البته می‌بایست به این نکته توجه داشت که سهم انتقال حرارت هریک از جریان‌های متقطع و قالبی

جدول ۱- ویژگی‌های هندسی مبدل حرارتی دانشگاه دلاوار.

متغیر	توضیح
سیال سمت پوسته	نفت خلیج
سیال سمت لوله	آب
طول لوله	۰,۴۰۹۶ m
قطر داخلی پوسته	۰,۲۳۲ m
قطر خارجی لوله	۰,۰۰۶۳۵ m
ضخامت لوله	۰,۰۰۱۲۴۴۶ m
تعداد لوله‌ها	۴۲۷
تعداد بفل‌ها	۵
فاصله بفل‌های مرکزی	۰,۰۶۷۱ m
ضخامت بفل‌ها	۰,۰۰۱۵۸۷۵ m
لقی بین پوسته و دسته لوله	۰,۰۱۳۵۹ m

جدول ۲- خلاصه شرایط عملیاتی برای شبیه‌سازی.

۱۰-TL5-1-C-۱	۱۰-TL5-1-H-۷	شماره آزمایش
۱۱/۱۳	۱۱/۱۴	دبی سمت پوسته (kg/m)
۱۴/۴۹	۱۴/۵۶	دبی سمت لوله (kg/m)
۶۸/۳۳	۶۲/۶۱	دما ورودی پوسته (°C)
۵۰/۷۸	۸۰/۱۱	دما ورودی لوله (°C)
۲۰/۴	۲۰/۴	درصد بریدگی بفق
۲۰/۳	۲۰/۳	لقی بفل - پوسته (mm)
۰/۲۵۴	۰/۲۵۴	لقی بفل - لوله (mm)



شکل ۴- مبدل حرارتی مورد استفاده در آزمایش‌های دانشگاه دلاوار.

انتقال حرارت جریان‌های متقطع و قالبی در معادله (۱۷) به وسیله‌ی دو مدل ارایه شده در بخش‌های قبلی قابل محاسبه است. معادله (۱۷) برای یک مبدل دارای جریان همسو و شمارنده تعداد مسیر متقطع (j) زوج به صورت زیر بیان می‌شود:

$$v^{Actual}(i+1,j) = v^{Actual}(i,j) \quad (18)$$

$$- E^{Cross}(v^{Cross}(i,j) - v^{Cross}(i+1,j))$$

$$- E^{Plug}(v^{Plug}(i,j) - v^{Plug}(i,j+1))$$

دمای سیال سمت لوله در این حالت به صورت زیر محاسبه می‌شود:

$$T^{Actual}(i,j) = \left(\frac{1}{1 + B\Delta S} \right) T^{Actual}(i,j-1) + \quad (19)$$

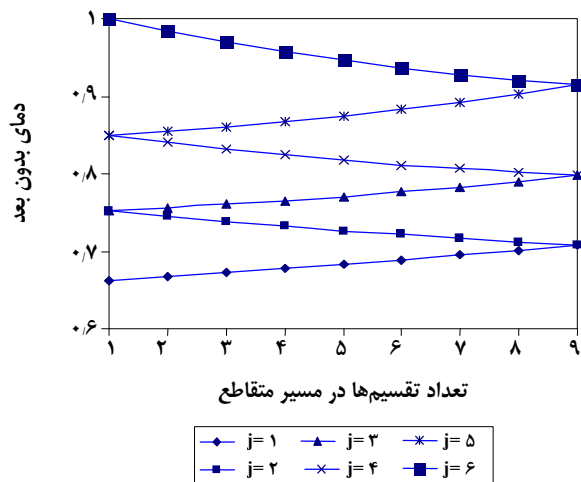
$$\left(\frac{B\Delta S}{1 + B\Delta S} \right) v^{Actual}(i+1,j)$$

سایر معادله‌های متنج از مدل ترکیبی در حالتی که شمارنده تعداد مسیر متقطع (j) فرد و یا مبدل حرارتی ناهمسو باشد نیز به راحتی قابل دست‌یابی است.

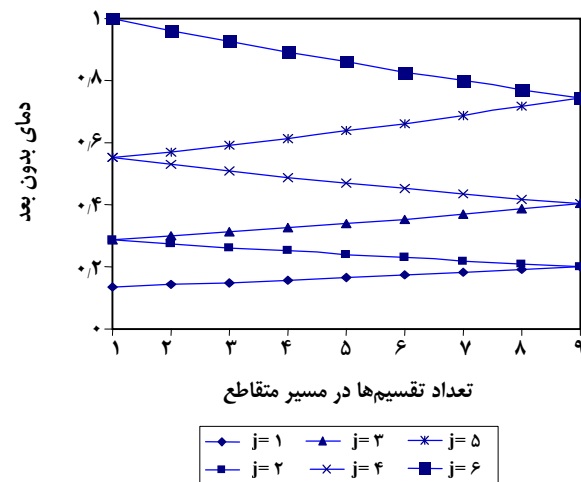
برای استفاده از معادله‌های (۱۸) و (۱۹) ابتدا باید توزیع دماهای سیالات سمت پوسته و لوله را با استفاده از دو مدل ارایه شده با فرض جریان متقطع و قالبی محاسبه کرده، سپس با جانشینی در معادله فوق توزیع دما با استفاده از مدل ترکیبی محاسبه خواهد شد.

بورسی درستی مدل‌سازی در مقایسه با نتیجه آزمایشگاهی
در دهه ۵۰ و ۶۰ میلادی، انجمن مهندسین مکانیک آمریکا و دانشگاه دلاوار برنامه‌ای پژوهشی را برای پژوهش در زمینه جریان سیال سمت پوسته و انتقال حرارت درون مبدل‌های پوسته و لوله هدایت کردند. این پژوهش‌ها شامل بررسی اثرهای بریدگی بفل‌ها، جریان‌های نشتی و جریان‌های جانسی روی افت فشار و انتقال حرارت مبدل با استفاده از اطلاعات جمع‌آوری شده از آزمایش‌های تجربی است. تعدادی از این نتیجه‌های آزمایشگاهی در گزارش نهایی دانشگاه دلاوار توسط بل [۱۷] ارایه شده است. درستی و اعتبار مدل‌سازی ارایه شده در این پژوهش، در مقایسه با دو نتیجه آزمایشگاهی برای جریان آشفته سیال سمت پوسته مورد بررسی قرار گرفته است.

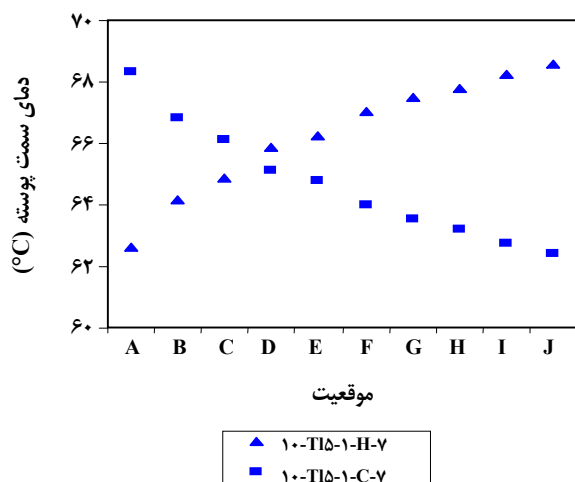
شکل ۴ و جدول ۱ نمایانگر ویژگی‌های هندسی مبدل حرارتی مورد استفاده در آزمایش‌های دلاوار هستند.



شکل ۷- توزیع دمای سمت پوسته با در نظر گرفتن مدل ترکیبی برای آزمایش ۱۰-TL5-1-C-۱.



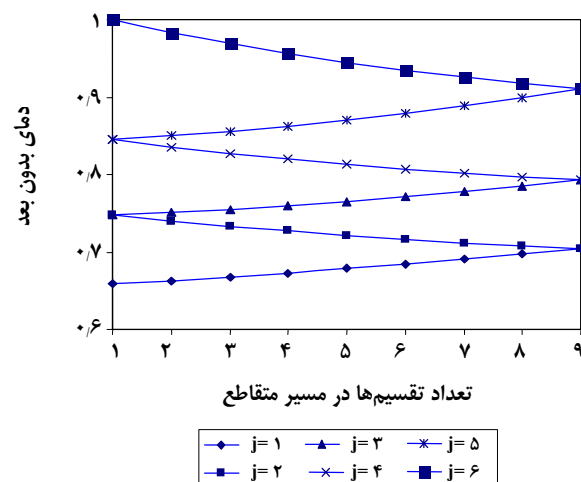
شکل ۵- توزیع دمای سمت پوسته با فرض مدل جریان متقطع برای آزمایش ۱۰-TL5-1-H-۷.



شکل ۸- مقایسه توزیع دما در طول مبدل برای آزمایش‌های ۱۰-TL5-1-H-۱ و ۱۰-TL5-1-C-۱ و ۱۰-TL5-1-H-۷ و ۱۰-TL5-1-C-۷.

سیال سمت پوسته با در نظر گرفتن مدل ترکیبی برای آزمایش ۱۰-TL5-1-H-۷ در شکل ۶ نمایش داده شده است.

این شکل نمایانگر انتقال حرارت واقعی براساس بررسی واقعی جریان‌ها در مبدل حرارتی می‌باشد. همان‌طور که ملاحظه می‌شود انتقال حرارت در مبدل حرارتی واقعی کمتر از انتقال حرارت در مبدل با فرض جریان متقطع است. شکل ۶ همچنین نحوه تغییرهای توزیع دمای سیال سمت پوسته در شش مسیر متقطع موجود درون مبدل حرارتی را نشان می‌دهد. توزیع دمای سیال سمت پوسته با فرض مدل جریان متقطع برای آزمایش ۱۰-TL5-1-C-۱ در شکل ۷ ارایه شده است.



شکل ۶- توزیع دمای سمت پوسته با در نظر گرفتن مدل ترکیبی برای آزمایش ۱۰-TL5-1-H-۷.

جدول ۲ خلاصه‌ای از شرایط عملیاتی، مقدارهای بریدگی بفل و لقی‌ها را در دو آزمایش انتخاب شده نمایش می‌دهد. توزیع دمای سیال سمت پوسته با فرض مدل جریان متقطع برای آزمایش ۷-10-TL5-1-H-۷ در شکل ۵ ارایه شده است. همان‌طور که در شکل مشخص است، به دلیل وجود جریان ناهمسو در مبدل حرارتی گرادیان دما در طول مبدل حفظ می‌شود، همچنین ملاحظه می‌شود که انتقال حرارت بسیار زیادی در مبدل با فرض جریان متقطع رخ می‌دهد که این مسئله حاکی از بازده حرارتی بسیار بالاتر این مبدل در مقایسه با مبدل‌های واقعی است و در عمل حد بالای عملکرد مبدل حرارتی را نشان می‌دهد. توزیع دمای

اطلاعات بیشتر آزمایشگاهی و صنعتی و مقایسه آنها با نتیجه‌های حاصل از مدل جدید است که این مهم در حال انجام است.

نتیجه‌گیری نهایی

مدل سازی جدید بر پایه ترکیب دو مدل حدی یکی با فرض جریان قالبی و دیگری با فرض جریان متقطع برای سیال سمت پوسته ارایه شده است که با استفاده از نتیجه‌های آنالیز جریان سیال سمت پوسته سهم هریک از دو مدل ترکیبی مشخص می‌شود. مدل ترکیبی توانایی محاسبه توزیع دمای سیالات سمت پوسته و لوله را دارد. همچنین با استفاده از نمودارهای توزیع دما طول مؤثر مبدل حرارتی بهراحتی قابل محاسبه خواهد بود که این امر گامی است بهسیوی طراحی بهینه مبدل‌های حرارتی و کاهش هزینه ساخت این تجهیزات.

مدل ارایه شده از سادگی بسیار زیادی در مقایسه با مدل‌های بر پایه دینامیک سیالات محاسبه‌هایی برخوردار است و بنابراین، انجام محاسبه‌های مربوط به شبیه‌سازی مبدل حرارتی بهوسیله‌ی مدل ترکیبی دارای سرعت بیشتری خواهد بود. مبدل‌های حرارتی در شرایط عملیاتی متفاوتی به کار گرفته می‌شوند و همچنین دارای پارامترهای هندسی بسیاری هستند که تعیین اثر هریک از این پارامترها بر نحوه تغییرهای توزیع دما و یا دمای خروجی از مبدل از اهمیت ویژه‌ای برخوردار است.

با استفاده از این روش، ابتدا بهوسیله‌ی آنالیز جریان سیال سمت پوسته سهم هر یک جریان‌های مؤثر مشخص شده و اثر پارامتر هندسی روی سهم جریان‌های قالبی یا متقطع محاسبه می‌شود و سپس با استفاده از مدل ترکیبی، تأثیر آن بر عملکرد حرارتی مبدل به‌سادگی مشخص خواهد شد.

مقایسه میان نتیجه‌های حاصل از شبیه‌سازی و نتیجه‌های آزمایشگاهی دانشگاه دلاوار برای دو مبدل دارای پوسته نوع E بیانگر دقت قابل قبول مدل ترکیبی در پیش‌بینی عملکرد حرارتی مبدل‌های پوسته و لوله است.

فهرست علایم

A	سطح انتقال حرارت (m^2)
B	پارامتر کمکی معادله‌ی (۶)
C	شدت جریان حرارتی (W/K)
c	شدت جریان حرارتی برای یک لوله (W/K)، $c=C/n$
E	سهم هر جریان از کل جریان سمت پوسته

جدول ۳- مقایسه نتیجه‌های انتقال حرارت با اطلاعات آزمایشگاهی.

شماره آزمایش	۱۰-TL5-1-C-1	۱۰-TL5-1-H-7
دما خروجی سمت پوسته (°C)	۶۲,۴	۶۸,۶
دما آزمایشگاهی خروجی سمت پوسته (°C)	۶۲,۹	۶۸,۴
درصد خطأ	-۰,۸	-۰,۲
دما خروجی سمت لوله (°C)	۵۴,۵	۷۶,۴
دما آزمایشگاهی خروجی سمت لوله (°C)	۵۲,۸	۷۸,۰
درصد خطأ	+۳,۱	-۲

جدول ۴- مقایسه تعداد واحدهای انتقال سیالات سمت پوسته و لوله.

شماره آزمایش	NTU _L	NTU
۱۰-TL5-1-H-7	۰,۴۷۵۲	۰,۱۹۱۳
۱۰-TL5-1-C-1	۰,۴۶۹۲	۰,۱۹۰۳

خلاصه‌ی نتیجه‌های حاصل از شبیه‌سازی برای مقایسه در جدول‌های ۳ و ۴ ارایه شده است. شکل ۸ نیز مقایسه‌ای میان توزیع دما برای دو آزمایش ۱۰-TL5-1-C-1 و ۱۰-TL5-1-H-7 را نمایش می‌دهد.

همان‌طور که ملاحظه می‌شود، محاسبات دمای خروجی از مبدل در مقایسه با دو نتیجه آزمایشگاهی دانشگاه دلاوار دارای خطایی در محدوده ۰,۸ تا ۳,۱ درصد است. با توجه به این که خواص فیزیکی در طول محاسبه‌ها ثابت درنظر گرفته شده، می‌توان گفت در نتیجه‌های حاصل از مدل سازی جدید تفاوت دمای سیالات ورودی و خروجی از مبدل حرارتی کمتر از ۴ درجه سانتی‌گراد برای سیال سمت لوله و کمتر از ۶ درجه سانتی‌گراد برای سیال سمت پوسته است. بنابراین، با توجه به تغییرهای کم دما، فرض ثابت بودن ویژگی‌های فیزیکی قابل قبول بوده و موجب خطای بزرگی در محاسبه‌ها نخواهد شد.

ذکر این نکته نیز ضروری است که داده‌های تجربی دانشگاه دلاوار دارای ۵ تا ۱۰ درصد خطأ در اندازه‌گیری دما می‌باشند، همچنین اثرهای افت انرژی از پوسته مبدل به محیط اطراف نیز در این داده‌ها گزارش نشده است.

تعیین دقت مدل ارایه شده بهصورت دقیق نیازمند جمع‌آوری

زیرنویس‌ها		
b	اشاره به جریان متقطع (جریان B در مدل تینکر)	L طول مبدل حرارتی (m)
c	اشاره به جریان متقطع جانبی (جریان C در مدل تینکر)	m تعداد مسیرهای متقطع
i	شمارنده تعداد ردیف لوله‌ها	M دبی جرمی هر یک از جریان‌های موجود
j	شمارنده تعداد مسیرهای متقطع	n در سمت پوسته (kg/s)
$i \pm 1/2$	محدوده میان ردیف لوله‌های i و i+1 یا i و i-1	NTU تعداد واحدهای انتقال (بدون بعد)، $NTU = kA/C$
in	ورودی	ntu \perp تعداد واحدهای انتقال سیال سمت پوسته
out	خروجی	$ntu\perp = NTU\perp/n$ به ازای یک لوله
s	اشاره به جریان نشتی میان بفل و پوسته (جریان E در مدل تینکر)	Q حرارت منتقل شده (W)
t	اشاره به جریان نشتی میان بفل و لوله (جریان A در مدل تینکر)	S مسیر بدون بعد حرکت سیال سمت لوله، $s = x/l_0$
T	اشاره به دبی جرمی سیال سمت پوسته	T دمای بدون بعد سیال سمت لوله، $T = t - t_{in}/t_{\perp in} - t_{in}$
\perp	اشاره به سیال سمت پوسته	$t_{\perp, t}$ دمای سیالات سمت لوله و پوسته ($^{\circ}\text{C}$)
		w سرعت سیال سمت لوله (m/s)
		\bar{w} سرعت متوسط سیال سمت لوله (m/s)
		x جهت حرکت سیال سمت لوله (m)

بالانویس‌ها

Actual	اشاره به جریان واقعی
Cross	اشاره به جریان متقطع
Plug	اشاره به جریان قالبی

علایم یونانی

ζ	طول بدون بعد ($\zeta = x/L$)
μ	پارامتر کمکی معادله (μ)
v	دمای بدون بعد سیال سمت پوسته ($v = t_{\perp} - t_{in} / t_{\perp in} - t_{in}$)

تاریخ دریافت: ۸۵/۱۲/۱۸، تاریخ پذیرش: ۸۶/۲/۱۰

مراجع

- [1] Zukauskas, A., "Heat Transfer from Tubes in Cross Flow", Academic Press, **8**, pp. 93-158, New York, (1972).
- [2] Donohue, D.A., Heat Transfer and Pressure Drop in Heat Exchangers, *Ind. Eng. Chem.*, **41**, p. 2499 (1949).
- [3] Kern, D.Q., "Process Heat Transfer", Mc Grow-Hill, New York, (1950).
- [4] Tinker, T. "Shell Side Characteristics of Shell and Tube Heat Exchangers", General Discussion on Heat Transfer, Institution of Mechanical Engineers, pp. 97-116, London, (1951).
- [5] Palen, J.W. and Taborek, J., "Solution of Shell Side Flow Pressure Drop and Heat Transfer by Stream Analysis Method", Chemical Engineering Progress Symposium Series, **65** (92), pp. 53-63, (1969).

- دوره ۲۶، شماره ۲، زمستان ۱۴۰۰
- [6] Wills, M.J.N. and Johnston, D., "A New and Accurate Hand Calculation Method for Shell Side Pressure Drop and Flow Distribution", 22nd National Heat Transfer Conference, HTD No. 36, ASME, New York, pp. 67-79, (1984).
- [7] Del Col, D., Muzzolon, A., Piubello, P. and Rossetto, L., "Measurement and Prediction of Evaporator Shell-Side Pressure Drop", *International Journal of Refrigeration*, **28**, p. 320 (2005).
- [8] Bell, K.J., "Delaware Method for Shell Side Design", Kakac, S., Bergles, A.E. and Mayinger, F. (Eds.), "Heat Exchangers Thermal Hydraulic Fundamentals and Design", Hemisphere, New York, pp.581-618, (1981).
- [9] Gaddis, E.S. and Gnielinski, V., "Pressure Drop on the Shell Side of Shell and Tube Heat Exchangers with Segmental Baffles", Chemical Engineering and Processing, No. 36, pp. 149-159 (1997).
- [10] Kapale, U.C. and Chand, S., "Modeling for Shell-Side Pressure Drop for Liquid Flow in Shell-and-Tube Heat Exchanger", *International Journal of Heat and Mass Transfer*, **49**, p. 601 (2006).
- [11] Prithiviraj, M. and Andrews, M.J., "Three Dimensional Numerical Simulation of Shell and Tube Heat Exchangers", *Taylor & Francis*, Volume 33, pp.799-828, (1998).
- [12] Xinghua, H., Qijie, W. and Zhen, L., "Three Dimensional Numerical Simulation of Fluid Flow and Heat Transfer in Shell and Tube Heat Exchanger", *Journal of Chemical Industry and Engineering (China)*, **51**, p. 297 (2000).
- [13] Bes, T. and Roetzel, W., "Thermal Analysis of Co-Directed Cross Flow Heat Exchangers", In Afghan, N.F., Carvalho, M.D., Cohen, A.B. and Roetzel, W., (Eds.), "New Developments In Heat Exchangers", Gordon & Breach Publishers, (1996).
- [14] Roetzel, W. and Na Ranong, Ch., "Axial Dispersion Model for Heat Exchangers", *International Journal of Heat Technology*, **18**, p. 7 (2000).
- [15] Ayub, Z.H., "A New Chart Method for Evaluating Single-Phase Shell Side Heat Transfer Coefficient in a Single Segmental Shell and Tube Heat Exchanger", *Applied Thermal Engineering*, **25**, p. 2412 (2005).
- [16] نصیرپور، وحید؛ کثیری، نوراله؛ توسعه یک مدل جدید به منظور ارزیابی حرارتی مبدل‌های پوسته و لوله، دهمین کنگره ملی مهندسی شیمی ایران، صص ۳۵۴۳-۳۵۵۶ (۱۳۸۴).
- [17] Bell, K.J., "Final Report of the Cooperative Research Program on Shell and Tube Heat Exchangers", Bulletin No.5 University of Delaware Engineering Experimental Station, Newark, Delaware, (1963).